

Notes de cours théorie et pratique de la concurrency

Francois Laroussinie
francois.laroussinie@liafa.jussieu.fr
version provisoire { 28 février 2012

Table des matières

1	Introduction	2
2	Exemples de programme concurrent	2
3	Définitions	5
4	Problèmes de section critique	6
5	Algorithmes avec variables partagées et pour deux processus	7
5.1	Preuve par analyse du graphe d'états	7
5.2	Algorithme de Dekker	10
5.3	Algorithme de Peterson	15
6	Algorithmes distribués pour n processus	18
6.1	De 2 à n : les tournois	18
6.2	Avec des variables propres : l'algorithme de la boulangerie	20
7	Algorithmes distribués utilisant des messages	23
7.1	Algorithme de Lamport (1978)	23
7.2	Algorithme de Ricart-Agrawala (1981)	26
A	Abstraction et diagramme d'états	29
B	Logique temporelle { mini kit de survie	31

1 Introduction

- { notion de programmes concurrents
- { sémantique d'entrelacement
- { adéquation de cette sémantique aux différents types de systèmes concurrents (systèmes multi-tâches, systèmes multi-processeurs, systèmes distribués)
- { importance de la notion d'atomicité (de certaines instructions ou groupes d'instructions)
- { utilisation de la logique temporelle LTL (de temps linéaire) pour la spécification { l'énoncé { de propriétés sur les exécutions des systèmes

Dans la suite, on va distinguer les algorithmes d'exclusion mutuelle en fonction de la méthode utilisée par les processus pour communiquer. Il y a :

- { les algorithmes utilisant des variables : tous les processus ont accès en lecture comme en écriture à ces variables partagées (on parle de variables \Multiple-Reader/Multiple-Writers"). C'est le cas des algorithmes de Dekker et Peterson.
- { les algorithmes où les processus utilisent des variables : tous les processus ont accès en lecture à ces variables mais seul un processus (le propriétaire) peut modifier une variable donnée (on parle de variables \Multiple-Reader/Single-Writer"). C'est le cas de l'algorithme de la Boulangerie.
- { les algorithmes distribués basés sur la communication par messages.

Dans le cours, nous verrons aussi d'autres approches basées sur l'utilisation de sémaphores, de moniteurs ou d'instructions \Test-and-set".

2 Exemples de programme concurrent

La figure 1 décrit un programme concurrent composé de deux processus, chacun contient des instructions qui manipulent une variable partagée

```
int x := 2      // variable partagée

-- Proc. A
a1: x := x+1
a2: x := x+2
a3: end

-- Proc. B
b1: x := x*3
b2: end
```

Figure 1 { ProgrammeP

Quel est le comportement de ? Quelle est la valeur finale de x après l'exécution de P ? Pour répondre à ces questions, il faut fixer des conventions sur ce que signifie l'exécution de ces processus. Ici on suppose qu'une telle exécution consiste en un enchaînement des actions de chaque processus : chaque processus exécute une ou plusieurs instructions, puis c'est à un autre d'avancer. Les instructions sont donc exécutées les unes à la suite des autres et non pas en même temps... Cette sémantique repose sur une notion importante : les instructions atomiques. Une instruction atomique est une instruction qui ne peut être interrompue : une fois commencée, elle est exécutée complètement. Par exemple, on peut supposer que la lecture du contenu d'une variable ou son affectation sont des opérations

atomiques (on parle de registres atomiques). Mais qu'en est-il d'une instruction comme $x := x + 1$ ou $x := x * 3$? Ici il y a, a la fois lecture de x , calcul d'une valeur puis affectation... On peut donc supposer qu'une telle instruction se decompose en (au moins) deux etapes : la lecture de x et son affectation dans une variable locale au processus, qui sera utilisee pour le calcul, puis l'affectation du resultat dans x . On peut donc le représenter par :

```
temp := x
x := temp + 1
```

Un tel choix est important sur le comportement global du programme. A titre d'exemple, on donne a la figure 3 le diagramme d'état du programme précédent lorsque chaque instruction $a1$, $a2$ et $b1$ est considérée comme étant atomique. Et a la figure 4, on donne le diagramme d'état correspondant a la sémantique utilisant des *temp*, c'est-à-dire au programme P^0 de la figure 2.

```
int x := 2      // variable partagée

-- Proc. A
a1: temp := x
a1': x := temp + 1
a2: temp := x
a2': x := temp + 2
a2: end

-- Proc. B
b1: temp := x
b1': x := temp * 3
b2: end
```

Figure 2 { Programme P

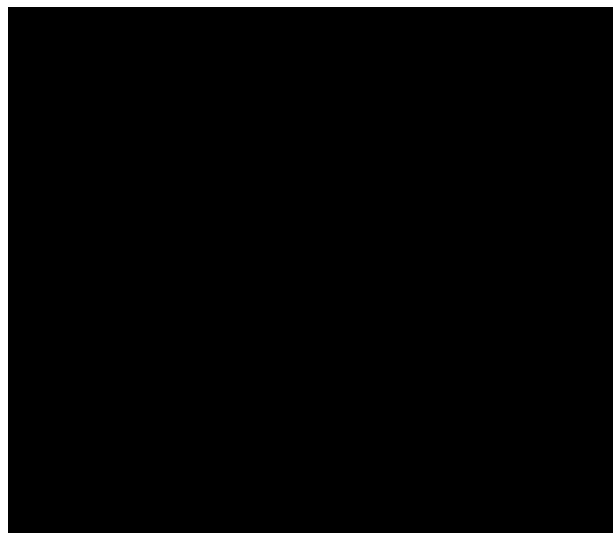


Figure 3 { Diagramme d'états de P .

On voit donc que dans le premier cas (sans variable *temp*), les valeurs finales possibles pour x sont 9, 11 ou 15. Mais pour P^0 , elles sont : 5, 6, 8, 9, 11 et 15!

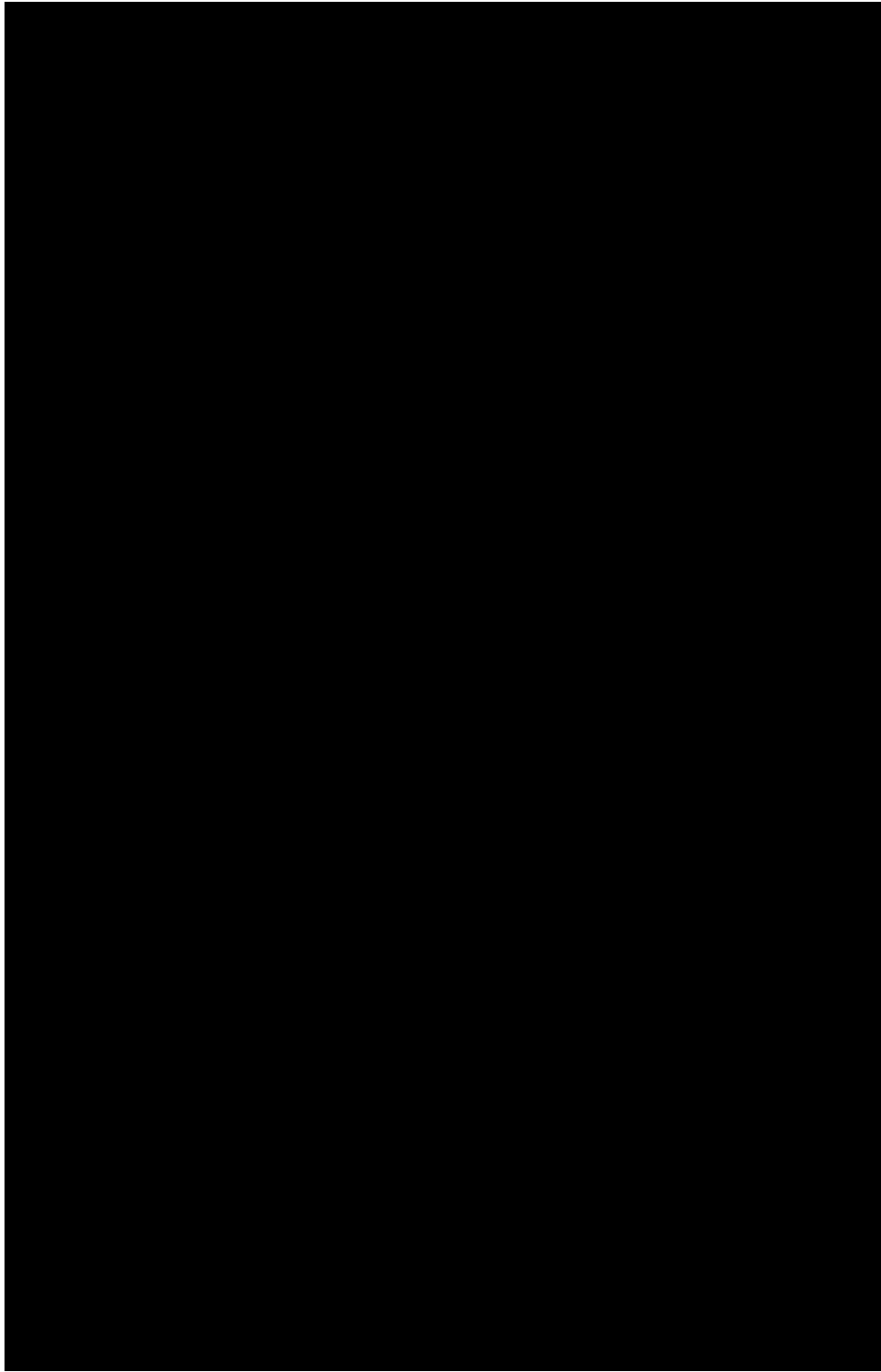


Figure 4 { Diagramme d'etats de P_0 .

Le choix des instructions atomiques est donc important, il influence directement sur le com-

portement des programmes concurrents. Il n'y a pas de règle absolue. En fait, cela dépend du langage, du compilateur et de la machine. On peut aussi faire des choix différents pour avoir un programme plus ou moins abstrait. En général il est raisonnable d'éviter les instructions manipulant plusieurs variables (ou occurrence de variables) pouvant modifiées et lues par plusieurs processus (par exemple, d'autres instructions sont problématiques car apparaissent plusieurs fois dans chacune).

Dans la suite, on supposera { sauf indication contraire { que chaque instruction listée dans les processus est atomique.

3 Définitions

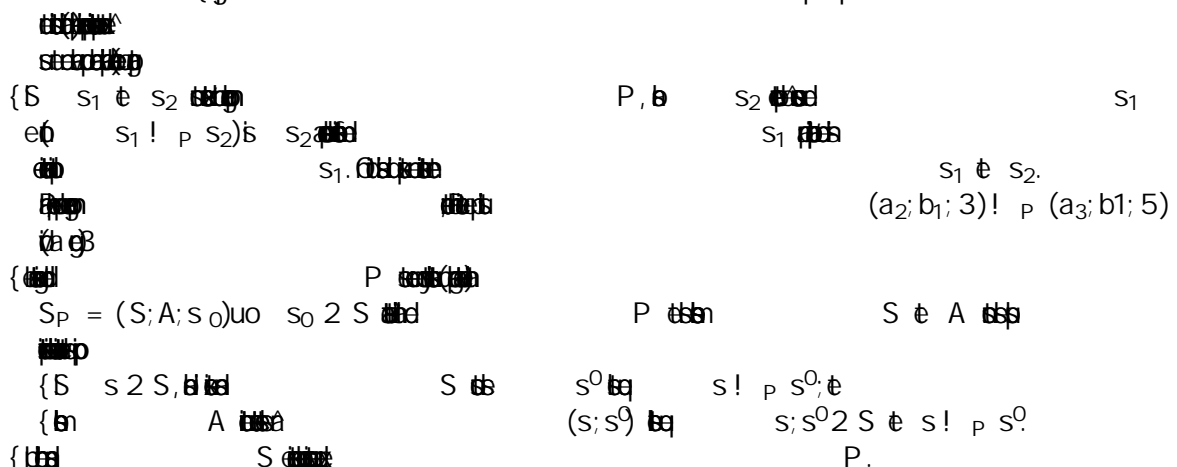
On a vu les points suivants :

- { Un programme concurrent est un ensemble $\{P_1, \dots, P_n\}$.
- { Chaque processus est décrit par un ensemble $\{I_1, \dots, I_n\}$.
- { Exécuter un programme concurrent consiste à entrelacer des instructions de chaque processus.
- { Un *as* (ou un "calcul") est une séquence d'instructions de chaque processus résultant d'un entrelacement des instructions de chaque processus.

Chaque processus dispose d'un *pc* (ou compteur de programme ou pointeur de contrôle) designant la prochaine instruction devant être exécutée. Au cours d'une exécution d'un programme concurrent, la prochaine instruction est choisie parmi celles pointées par un des pointeurs de contrôle.

On formalise ici quelques définitions liées au diagramme d'états d'un programme concurrent :

Définition 1



Les chemins dS_P correspondent donc à des séquences d'actions de chaque processus. Ce point est très important : cela signifie que tout entrelacement est possible... En pratique, ce n'est pas le cas (l'ordonnancement des actions des différents processus répond à certaines règles) mais le choix de considérer tous les entrelacements possibles est robuste : une fois que nous avons prouvé qu'ils vérifient, tous, les propriétés recherchées, nous savons que le programme réel les vérifiera aussi.

Comment écrire un programme concurrent ? On va utiliser un pseudo-code (comme en algorithmique) avec des primitives spéciales, notamment `await` (voir ci dessous) pour mettre le processus en attente d'une condition. Nous en verrons d'autres lorsque nous nous intéresserons aux algorithmes basés sur des échanges de messages entre processus. En TP, on utilisera Java. Nous verrons aussi le langage Promela utilisé dans l'outil jSPIN (basé sur l'outil SPIN) :

```
{ jSPIN : http://stwww.weizmann.ac.il/g-cs/benari/jspin/
{ SPIN : http://spinroot.com/
```

Les programmes Promela des algorithmes vus en cours seront disponibles sur la page web du cours <http://www.liafa.jussieu.fr/~francois/m1tpc.html>

Remarque : l'instruction `await C` est ici équivalente à `while : C : skip;`. Il s'agit d'une attente active ou le processus testera régulièrement la valeur de `C` tant que celle-ci n'est pas égale à VRAI.

4 Problèmes de section critique

Cette partie s'appuie en grande partie sur [1].

Les algorithmes présentés ne sont pas utilisés en vrai (il existe des mécanismes de plus haut niveau pour gérer l'exclusion mutuelle) mais ils illustrent bien les mécanismes généraux de la concurrence.

Le problème. N ($N \geq 2$) processus exécutent continuellement (on utilise une boucle infinie) deux séquences d'instructions :

```
{ la section non-critique (SNC)
{ la section critique (SC),
```

On complète ces deux parties par un pré-protocole (à exécuter avant d'accéder à la SC) et un post-protocole (à exécuter après l'accès à la SC).

Les propriétés de P s'énoncent (de manière informelle) comme suit :

- { **exclusion mutuelle** : au plus un seul processus peut être dans sa section critique à un instant donné .
- { **absence d'inter-blocage** : si plusieurs processus essaient en même temps d'accéder à leur section critique, alors un d'entre eux doit y parvenir ils ne peuvent pas se bloquer mutuellement dans la phase de pré-protocole (voir ci-dessous).
- { **absence de famine** : si un processus essaie d'entrer dans sa SC, alors il y parviendra .
- { **attente bornée** : si un processus P attend pour accéder à sa SC, alors il y arrivera et on peut borner le nombre de fois où d'autres processus pourront accéder à leur SC avant P .
- { **absence de privilège** : il n'y a pas de rôle privilégié pour un processus, chacun est traité à égalité...

On peut définir d'autres propriétés sur ces algorithmes. Toutes ces propriétés ne sont pas de même importance : la première { l'exclusion mutuelle { est la propriété fondamentale de ces algorithmes, et c'est une propriété de sûreté (on ne veut voir qu'une "mauvaise chose" n'arrive pas) . L'absence de famine est également une propriété clé et c'est une propriété de vivacité ("quelque chose de bien doit arriver") .

Notons aussi qu'il y a un lien entre l'absence d'interblocage, l'absence de famine et l'attente bornée :

att. bornée) abs. de famine) abs. d'interblocage

Nous allons voir plusieurs algorithmes et pour chacun d'entre eux, on vérifiera quelles propriétés sont satisfaites.

Pour traiter ce problème de section critique, nous allons faire des hypothèses importantes que nous utiliserons par la suite pour prouver la correction de nos algorithmes.

Les hypothèses. Nous faisons les hypothèses suivantes :

1. Nous nous intéressons aux processus structures de la manière suivante :
 Boucle infinie de :
 { section non-critique
 { ~~pre-protocole~~ (le processus veut accéder à la SC)
 { section critique (le processus y est arrivé)
 { ~~post-protocole~~ (le processus a quitté sa SC)
2. On dispose d'un mécanisme de communication par variables partagées qui vont être utilisées dans le pre-protocole et le post-protocole. Ces variables ne sont pas manipulées en dehors (c'est-à-dire dans la SC et la SNC).
3. La section critique ne bloque jamais (on n'entre toujours par en sortir et par exécuter le post-protocole).
 NB : cette hypothèse est assez naturelle et facile à garantir si on suppose que la section critique est une petite séquence d'instructions élémentaires (contrairement à la SNC).
4. La section non-critique peut éventuellement bloquer le processus peut s'arrêter ou boucler) et dans ce cas le pre-protocole ne sera plus exécuté.

5 Algorithmes avec variables partagées et pour deux processus

5.1 Preuve par analyse du graphe d'états

On commence l'algorithme A₁ de la figure 5.

```

int turn := 1      // variable partagée

-- Processus P1
loop forever :
p1: section NC
p2: await turn==1
p3: section critique
p4: turn:=2

-- Processus P2
loop forever :
q1: section NC
q2: await turn==2
q3: section critique
q4: turn:=1

```

Figure 5 { Algorithme A1

L'idée de l'algorithme est très simple : à chaque instant la variable ~~turn~~ désigne le numéro du processus dont c'est ~~le~~ tour d'accéder à la section critique. Un processus souhaitant accéder à la SC doit attendre son tour.

L'instruction p_2 de P_1 est son pre-protocole et p_4 est son post-protocole (pour p_1 et p_3 il s'agit de q_2 et q_4).

Comment prouver que cet algorithme vérifie la propriété d'exclusion mutuelle? On peut utiliser deux techniques : on peut montrer cette propriété sur le graphe d'états de l'algorithme (une inspection de ce graphe montrera que la propriété est assurée) et on peut aussi utiliser une preuve classique sur l'algorithme. Pour cet algorithme, nous allons utiliser la première méthode. Pour l'algorithme suivant (algorithme de Dekker), nous utiliserons la seconde.

Construction du diagramme d'états. Un état de l'algorithme A_1 contient :

- { un pointeur sur la prochaine instruction de P_1
- { un pointeur sur la prochaine instruction de P_2
- { la valeur de $turn$,
- { et la valeur des différentes variables internes de P_1 et P_2 utilisées dans les sections critiques et non-critiques.

Pour représenter le comportement lié au protocole, on peut oublier les variables autres que $turn$ (car elles n'ont pas d'effet sur les propriétés étudiées). On va donc représenter un état de l'algorithme par un triplet $(p; q; t)$ où p est un élément de $\{p_1; p_2; p_3; p_4\}$, q un élément de $\{q_1; q_2; q_3; q_4\}$ et t un élément de $\{1; 2\}$.

Le graphe d'états va contenir tous les états de cette forme et des transitions représentant l'exécution de l'instruction p ou q et conduisant à des états où les pointeurs ont été mis à jour ainsi que la variable $turn$. Pour vérifier la propriété d'exclusion mutuelle, il suffit de vérifier qu'aucun état $(p_3; q_3; 1)$ ou $(p_3; q_3; 2)$ n'est atteignable depuis l'état de départ $(p_1; q_1; 1)$.

Combien peut-il y avoir d'états dans le graphe? $4 \times 2 = 32$. On va le construire de manière incrémentale en partant de l'état de départ. Cela donne le graphe de la figure 6.

Dans ce diagramme d'états, nous avons précisé pour chaque transition, si elle correspondait au processus P_1 ou au processus P_2 en étiquetant la transition avec 1 ou 2.

On peut remarquer que chaque état a toujours deux ou trois transitions sortantes : au moins une correspond à l'exécution pointée dans P_1 et au moins une correspond à celle de P_2 . Comme nous ne savons pas si l'exécution d'une section non-critique termine ou boucle, c'est-à-dire si son exécution conduit à l'instruction suivante ou à l'instruction p_2 ou q_2 , nous sommes obligés de considérer les deux possibilités : une boucle sur le même état (le pointeur restant en q_1) ou une transition vers q_2 ou q_4 . Les transitions de boucle en SNC sont indiquées avec des pointilles.

Notons aussi qu'il n'y a que 16 états car les 16 autres ne sont pas accessibles depuis l'état de départ.

Équivalence entre processus. Une exécution de l'algorithme A_1 correspond à un chemin (infini) dans le graphe d'états. Mais l'inverse n'est pas vrai : certains chemins infinis du graphe ne sont pas de bonnes exécutions de l'algorithme. Par exemple, les chemins qui bouclent infiniment dans un unique état avec une transition pleine correspondent à une exécution infinie soit du pre-protocole de P_1 (pour les états de la forme $(p_1; q_2; 2)$), soit du pre-protocole de P_2 (pour les états de la forme $(q_2; 1)$). Or dans tous ces cas, cela signifierait que l'un des deux processus est systématiquement empêché de progresser : ce serait toujours l'autre qui aurait la main. Ce genre de situation n'est pas acceptable : on souhaite autoriser tous les entrelacements possibles d'actions des deux processus mais pas l'exclusion d'un des deux processus... Les exécutions de A_1 seront donc représentées par les chemins

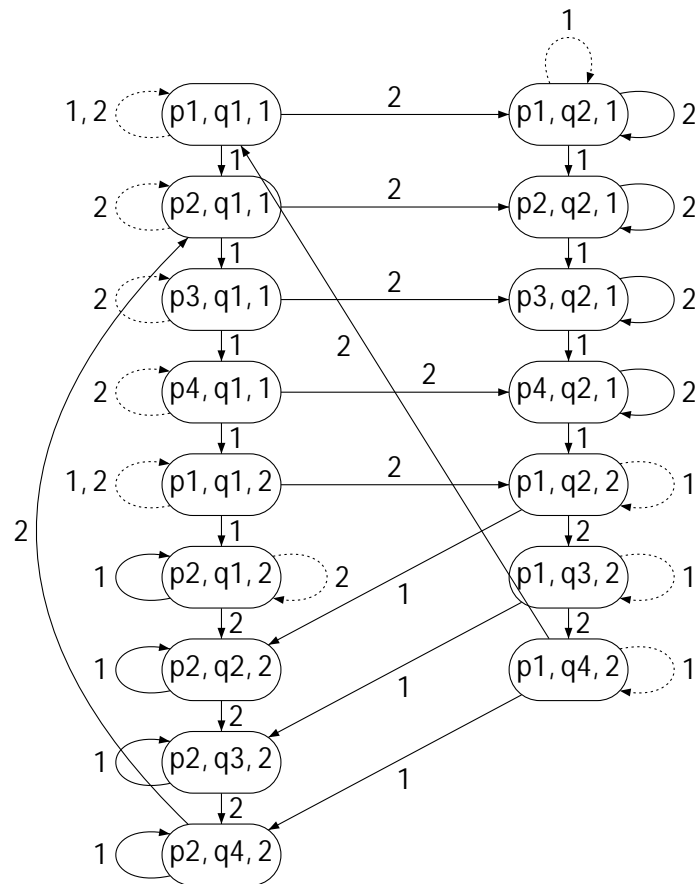


Figure 6 { Diagramme d'états de A1.

ou un processus qui peut avancer, avancera un jour. Dans le diagramme d'états de la figure 6, les deux processus peuvent toujours exécuter une action, et donc les chemins équitables sont les chemins infinis où il y a une infinité de transitions étiquetées par 1 et une infinité de transitions étiquetées par 2.

Etude des propriétés de l'algorithme. L'analyse du graphe d'états de A1 montre clairement que les états $(p_3, q_3, 1)$ et $(p_3, q_3, 2)$ ne sont pas accessibles. La propriété d'exclusion mutuelle est donc vérifiée.

Qu'en est-il des autres propriétés ?

{ **absence d'inter-blocage** : les processus ne peuvent pas se bloquer mutuellement dans la phase de pre-protocole.

Cette propriété est aussi vérifiée : une analyse du graphe de la figure 6 montre que lorsque les deux processus sont ensemble dans leur phase de Pre-protocole, il y en a toujours un qui peut accéder à la SC_i si $turn$ vaut 1, et P_2 si $turn$ vaut 2, sachant que $turn$ vaut toujours 1 ou 2.

{ **absence de famine** : La question est de savoir si à tout moment lorsqu'un processus se trouve dans son pre-protocole (quand il souhaite accéder à sa SC), alors il y arrivera

un jour.

On ne considère ici que des exécutions équitables entre processus. Par exemple, on exclut une exécution qui bouclerait sur l'état $(p2; q2; 1)$: car cette boucle consiste à exécuter in finiment le test $turn == 2$ du processus P_2 . Dans une exécution équitable, après un certain nombre (arbitrairement grand) de tours de boucle, le processus P_2 verra toujours par avancer en passant à $turn == 1$ et accèdera à $(p3; q2; 1)$.

Mais une analyse du graphe de $A1$ montre qu'il est possible de rester bloqué dans l'état $(p1; q2; 1)$ tout en suivant une exécution équitable (car contenant à la fois des transitions du processus P_1 en pointillées et des transitions du processus P_2). Ce scénario correspond au cas où le processus P_2 ne sort pas de sa SNC et ne mettra donc $turn$ à 2, ce qui empêche P_1 d'accéder à sa SC ! On a bien sûr le même phénomène pour P_1 depuis l'état $(p2; q1; 2)$. On voit ici l'importance de l'hypothèse sur la non-termination possible de la SNC.

Dans l'algorithme $A1$, il y a une famine est possible.

{ **attente bornée** : Cette propriété est clairement fautive puisqu'il peut y avoir famine...

{ **absence de privilège** : On peut considérer que le processus P_2 est avantagé car il est sûr de pouvoir accéder au moins une fois à sa SC contrairement à

Dans l'annexe A, on discute de plusieurs simplifications possibles pour le diagramme d'états de $A1$.

5.2 Algorithme de Dekker

On considère maintenant l'algorithme de Dekker (proposé en 1964) qui est décrit à la figure 7. C'est, semble-t-il, le premier algorithme correct pour résoudre le problème de section critique dans ce cadre.

<pre> boolean D1 := False boolean D2 := False int turn := 1 -- Processus P1 loop forever : p1: section NC p2: D1 := True p3: while (D2 == True) : p4: if (turn == 2) p5: D1 := False p6: await (turn == 1) p7: D1 := True p8: section critique p9: turn := 2 p10: D1:=False </pre>	<pre> // variables partagées -- Processus P2 loop forever : q1: section NC q2: D2 := True q3: while (D1 == True) : q4: if (turn == 1) q5: D2 := False q6: await (turn == 2) q7: D2 := True q8: section critique q9: turn := 1 q10: D2:=False </pre>
---	--

Figure 7 { Algorithme de Dekker

Ide de l'algorithme. Lorsque P_1 veut acceder a sa SC, il commence par mettre D_1 a VRAI (signifiant ainsi a P_2 son souhait d'y aller). Ensuite P_1 constate que P_2 souhaite aussi acceder a sa SC ($D_2 == \text{True}$), alors il regarde qui est prioritaire (valeur de $turn$) : si c'est P_2 , il se met en attente de son tour ($turn == 1$) apres avoir signifié a P_2 qu'il n'était plus candidat a la SC (en mettant D_1 a FAUX). Apres avoir acceder a sa SC, P_1 met $turn$ a 2 (donnant donc la priorite a P_2) et remettant D_1 a FAUX.

Voici deux exemples de scénario pour l'algorithme de Dekker. Les etats successifs du systeme sont representes ligne par ligne mais on ne note que les changements (de pointeur d'instruction et/ou de variables) :

	P_1	P_2	D_1	D_2	turn
1	p1	q1	?	?	1
2	p2				
3	p3		>		
4		q2			
5	p8				
6		q3		>	
7		q4			
8		q5		?	
9		q6			
10	p9				
11	p10				2
12		q7			
13		q3		>	
14	p1		?		
15		q8			
			...		

	P_1	P_2	D_1	D_2	turn
1	p1	q1	?	?	1
2		q2			
3		q3		>	
4	p2				
5	p3		>		
6		q4			
7	p4				
8	p3				
9		q5			
10		q6		?	
11	p8				
			...		

Pour cet algorithme, nous allons d'abord prouver un premier lemme qui enonce plusieurs invariants dans lesquels on utilise les etiquettes des instructions (q_i) pour indiquer la position du pointeur de contrôle du processeur P_1 ou P_2 .

Lemme 1 ~~est vrai~~

```

{ turn == 1 _ turn == 2
{ (p3_ p4_ p5_ p8_ p9_ p10) , D1 == >
{ (q3_ q4_ q5_ q8_ q9_ q10) , D2 == >

```

Preuve : On montre que la propriete est vraie au debut et se maintient tout au long de l'execution de l'algorithme.

Pour la premiere propriete, le resultat est direct car $turn$ est initialise a 1, puis on ne lui a ecte que les valeurs 1 ou 2...

Pour les deux autres proprietes, on peut examiner chaque processus separement car la premiere propriete ne porte que sur le processeur P_1 et la seconde que sur P_2 . En e et, la variable D_1 n'est modifiée que par P_1 (et D_2 que par P_2).

On construit donc le diagramme d'etats de la figure 8 qui decrit les comportements possibles de P_1 : chaque etat du graphe contient la prochaine instruction P_1 a executer et la

valeur courante de D_1 . Notons qu'avec un tel graphe, nous ne pouvons pas savoir le résultat des tests sur D_2 puisque leurs valeurs ne sont pas représentées dans les états. Nous sommes donc obligés de représenter les deux possibilités (test vrai ou test faux) et faire partir deux transitions différentes. Nous avons donc une approximation du comportement. Parfois la mesure ou certaines exécutions de ce graphe ne seraient pas forcément possibles dans le graphe complet. Mais nous allons voir que malgré ces comportements supplémentaires, nous avons bien toujours la propriété recherchée sur la valeur de D_1 et les états de P_1 . Cela nous permettra de conclure que la propriété est vraie sur le comportement de P_1 (qui est plus restreint).

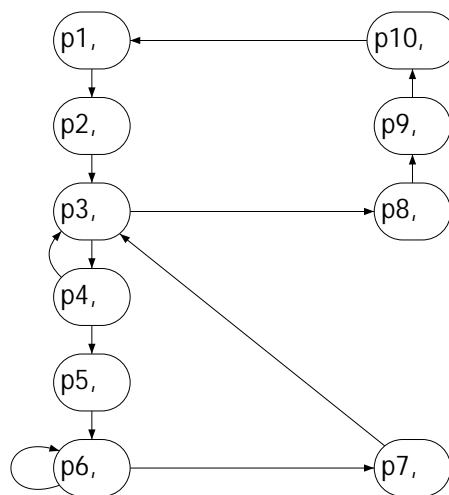


Figure 8 { Diagramme d'états simplifié de P_1 (avec la valeur de D_1).

On fait la même chose pour P_2 .

2

Ce lemme peut aussi s'énoncer en utilisant l'opérateur de la logique temporelle (voir l'annexe B) pour énoncer il est toujours vrai... , on dira ainsi les propriétés suivantes sont vraies pour l'algorithme :

- { 2 turn == 1 _ turn == 2
- { 2 (p3 _ p4 _ p5 _ p8 _ p9 _ p10) , D1 == >
- { 2 (q3 _ q4 _ q5 _ q8 _ q9 _ q10) , D2 == >

On en déduit le théorème :

Théorème 1 (Exclusion mutuelle de l'algorithme de Dekker)

~~l'ann~~ 2: $(p8 \wedge q8)$.

Preuve : Pour que le pointeur de P_1 passe en p8, il faut que le programme soit sorti de la boucle en p3 et donc que la variable D_2 soit à False. Ce dernier point implique (par le D213D7(Cpp549 Td [(p-13.54(p)-2731)]TJ -285 -13.542(qe)-301(le285028p)-27(oin)28(teur)

On fait le même raisonnement pour le cas où le pointeur P_2 passe en q_8 : on en déduit alors que celui de P_1 ne peut pas être q_8 .

Il y a bien exclusion mutuelle dans la section critique.

2

Theoreme 2

Preuve : Montrer l'absence d'interblocage consiste à montrer que si les deux processus sont dans leur pre-protocole, alors il ne peuvent pas y rester bloqués tous les deux. On fait une preuve par l'absurde. Supposons qu'il existe un interblocage, alors les deux processus P_1 et P_2 sont bloqués dans leur instructions $p_3 \dots p_7$ et $q_3 \dots q_7$. Supposons que la variable $turn$ vaille 1 (nous savons que cette valeur ne changera plus puisque les deux processus ne pourront plus la modifier avec leurs instructions p_7 et q_7). Dans ce cas P_1 boucle sur le `while` et le `if` : P_1 exécutera pour toujours les instructions p_3, p_4, p_5, p_6, p_7 . On a donc $D1 = \text{True}$ pour tous les états, et la variable $D2$ doit être vraie (pour permettre à P_1 de tester correctement le `while`). Que peut faire P_2 ? Il ne peut pas être bloqué car sinon cela empêcherait $D2$ de prendre la valeur `True` inégalement souvent. P_2 doit donc boucler en q_3 mais alors il doit exécuter q_4 et comme $turn == 1$, alors il se retrouve bloqué en q_6 , ce qui est contradictoire avec la remarque précédente. Il n'y donc pas d'interblocage : si les deux processus exécutent leur pre-protocole, alors un en sortira...

2

Nous allons maintenant montrer l'absence de famine. Il s'agit donc de montrer que tout processus qui entre dans son pre-protocole finira par accéder à sa section critique. Cette propriété s'énonce (p2) - (p8) en logique temporelle. On a le résultat suivant :

Theoreme 3

Propriété

4.9

$\{ (p2) \rightarrow (p8), \text{ et } (q2) \rightarrow (q8) \}$

Preuve : Supposons qu'il y ait une famine pour P_1 . Alors cela signifie que P_1 va rester bloqué dans son pre-protocole. Que peut-il se passer pour

{ Il ne peut pas bloquer dans le pre-protocole (car il n'y a pas d'interblocage, voir le theoreme 2).

{ Supposons qu'il bloque dans sa section non-critique. Soit instant où P_2 est bloqué dans sa SNC et P_1 est bloqué dans son pre-protocole. Alors $D2 = \text{False}$ pour tous les instants futurs (grâce au Lemme 1). Donc P_1 boucle, ce n'est pas dû au `while`, mais au `await` ($turn == 1$) (instruction p_6). Donc $turn == 2$ (pour toujours).

Soit t_2 le dernier instant où P_1 a exécuté l'instruction p_3 ($t_2 < t_4$) : en t_2 , on avait $D2 = \text{True}$ et donc entre t_2 et t_4 , le processus P_2 a exécuté $D2 := \text{False}$ (q_{10}), soit t_3 cet instant.

Maintenant, nous savons qu'avant t_3 , P_2 a exécuté q_9 mettant ainsi $turn$ à 1 (soit $t_0 < t_3$ cet instant) : comme $turn$ vaut 2 en t_4 , il a fallu qu'après t_0 , P_1 exécute p_9 pour mettre $turn$ à 2... soit t_1 cet instant : on a $t_0 < t_3$ et aussi $t_1 < t_2$. D'où la figure 9.

En t_1 , le pointeur de programme de P_1 est donc en p_9 et celui de P_2 est en q_{10} . On sait de plus que $D1 = \text{True}$ et $D2 = \text{True}$. Une telle configuration ($p_9, q_{10}, 1, \text{True}, \text{True}$) est



Figure 9 { Scenario conduisant au blocage de P_1 dans le pre-protocole avec P_2 en SNC.

inaccessible si l'exclusion mutuelle est assurée (voir le lemme 2 ci dessous qui montre ce point en détail). Ce cas est donc aussi impossible.

Le blocage de P_1 alors que P_2 reste dans sa section non-critique est donc impossible.

{ Supposons en n que P_2 ne bloque pas dans sa SNC : qu'il exécute son protocole in ni-
ment souvent. Mais alors apres avoir accede a sa SC, il met $turn$ a 1, donnant ainsi
la priorite a P_1 . Cette valeur pour $turn$ ne changera plus. Du coup P_1 ne peut plus être
bloqué en p_6 et bouclera en $p_3p_4p_3p_4$. et D_1 sera a True pour toujours. Mais alors P_2
testera son $while$ et n'ira bloqué en q_6 ! Ce qui conduirait a un interblocage, ce qui
n'est pas possible...

2

On utilise le lemme suivant dans la preuve d'absence de famine :

Lemme 2 ~~td~~ $(p_9, q_{10} \text{ turn} = 1; D_1 = >; D_2 = >) \wedge (p_9, q_{10} \text{ turn} = 2; D_1 = >; D_2 = >) \rightarrow \text{false}$

Preuve : Pour le montrer il su t de calculer les predecesseurs possibles pour ces con gu-
rations (on omet la valeur de $turn$ car elle n'est pas utile ici). Notons d'abord que les dernieres
instructions e ectuees par P_1 sont $p_3 p_8 p_9$, et celles de P_2 sont $q_3 q_8 q_9 q_{10}$ La gure 10
contient ce graphe d'etats construits en arriere a partir de $(p_9, q_{10}; D_1 = >; D_2 = >)$.

A chaque etat on associe les deux transitions entrantes correspondant a l'execution d'une
instruction de P_1 ou P_2 . Une transition en pointillee est une transition impossible a franchir.

Une analyse du graphe montre bien que de tous les chemins menant a une con guration
de la forme $(p_9, q_{10}; >; >)$ passe par un con it en section critique ($p_8 q_8 ::$), ce qui est
exclu par le theoreme 1.

2

Il n'y a donc pas de famine, ni d'interblocage. Le protocole veri e-t-il l'attente bornee ? Oui
car un processus P peut se faire doubler au plus une fois : il se fait doubler si la variable
lui est defavorable mais alors l'autre processus Q modifie $turn$ de maniere a avantager
P...

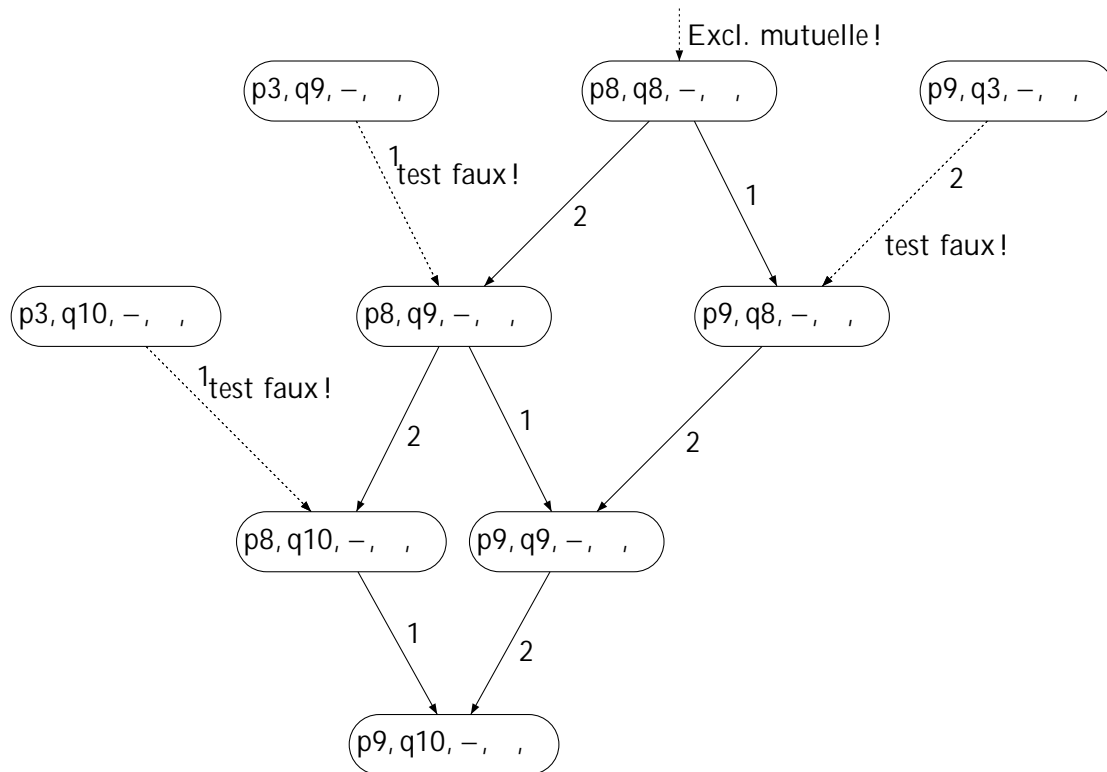


Figure 10 { Graphe arriere depuis p9,q10 ;>;>) { algorithme de Dekker.

5.3 Algorithme de Peterson

L'algorithme de Peterson est plus simple et plus recent (1981) que l'algorithme de Dekker. Il est décrit dans la gure 11.

```

boolean D1 := False      // variables partagees
boolean D2 := False
int turn := 1

-- Processus P1
loop forever :
p1: section NC
p2: D1 := True
p3: turn := 2
p4: await (D2==False OR turn==1)
p5: section critique
p6: D1:=False

-- Processus P2
loop forever :
q1: section NC
q2: D2 := True
q3: turn := 1
q4: await (D1==False OR turn==2)
q5: section critique
q6: D2:=False
  
```

Figure 11 { Algorithme de Peterson

Ide de l'algorithme. Lorsque le processus P_1 veut accéder a sa SC, il le signale en mettant $D1 = \text{VRAI}$ puis donne la priorite a l'autre processus P_2 et ensuite veri e avant d'accéder a sa SC, que P_2 ne veut pas y aller ($D2 == \text{False}$) ou alors qu'il (P_1) est prioritaire.

On a :

Theoreme 4 (Exclusion mutuelle de l'algorithme de Peterson)

NB : 2: ($p_5 \wedge q_5$).

Preuve : Supposons que P_1 soit déjà dans sa SC lorsque P_2 accede a sa SC. On a alors $D1 == D2 == \text{True}$ (NB : la valeur de $D1$ n'est modi able que par P_1 et celle de $D2$ n'est modi able que par P_2 : on peut donc conna^tre directement leur valeur en fonction du pointeur d'instruction des deux processus). Donc, si P_2 accède a sa SC, c'est que $\text{turn} = 2$. Quel test a pu permettre P_1 d'accéder dans sa SC ?

{ $D2 == \text{False}$? Mais alors P_2 a (depuis l'arrivee de P_1 en SC) fait $D2 := \text{True}$ puis $\text{turn} := 1$ et personne n'a pu changer cette valeur et donc lui permettre d'accéder a la SC...

{ $\text{turn} == 1$? La encore, P_2 a modi e turn apres la modi cation ($\text{turn} := 2$) de P_1 et donc turn vaut toujours 1 lorsque P_2 veut accéder a sa SC et donc il ne peut y arriver.

Donc P_2 ne peut pas rejoindre P_1 ...

2

Il n'y a pas d'interblocage des processus lors du pre-protocole. En e et, si il y avait un tel blocage, cela signi erait que P_1 serait en attente de $D2 == \text{False}$ OR $\text{turn} == 1$ et P_2 serait en attente de $D1 == \text{False}$ OR $\text{turn} == 2$, on en conclut que dans cette situation on aurait

$D1 == \text{True}$, $D2 == \text{True}$ et surtout $\text{turn} != 1$ et $\text{turn} != 2$, ce qui n'est clairement pas possible!

On en deduit :

Theoreme 5

NB :

NB :

{ $2(p_2) \rightarrow 3(p_5)$, e

{ $2(q_2) \rightarrow 3(q_5)$

Preuve : Supposons que P_1 soit en situation de famine. Il a donc execute p_2 puis p_3 (l'equite en processus garantit sa progression) et arrive a p_4 ou il restera bloque sur le await. Si il est bloque a ce stade, c'est que l'on a $D2 == \text{True} \wedge \text{turn} == 2$ lors des tests du await. Cela signi e que la valeur de $D1$ restera a True pour toujours (P_1 est bloque), tandis que turn devra valoir 2 et $D2$ True in niment souvent (a chaque fois que P_2 testera la condition de son await). Mais si la variable $D2$ est a True , c'est que le processus P_2 se trouve en q_3 , q_4 , q_5 ou q_6 :

{ de q_3 , il irait en q_4 (equite entre processus) et mettrait turn a 1 avant de bloquer en q_4 et laisser passer P_1 , ce qui est contradictoire avec l'hypothese de depart... Ce n'est donc pas possible.

{ en q_4 , il franchirait le await si turn vaut 2, et passerait en q_5 ;

{ de q_5 , il irait en q_6 (car la SC termine); et

{ de q_6 , il irait par mettre $D2$ a False et arriverait en q_1 . De la, P_2 ne peut pas bloquer en SNC car alors $D2$ resterait a False pour toujours et cela contredirait l'hypothese du

blocage de P_1 en p_4 ... Donc P_2 exécutera q_2 puis q_3 et on retombe sur le premier cas qui contredit l'hypothèse.

On a donc vu que dans tous les cas, P_2 ne peut pas assurer le fait d'avoir in finiment souvent $(D_2 == \text{True} \wedge \text{turn} == 2)$. Il n'y a donc pas de famine pour P_1 . 2

Le protocole vérifie-t-il l'attente bornée? Oui : un processus P peut se faire doubler au plus une fois (il se fait doubler si il exécute son pre-protocole juste après le processus Q et modifie la variable turn pour lui donner l'avantage, mais alors l'autre processus Q , après avoir atteint sa SC, modifiera turn de manière à avantager P ...).

Dans l'algorithme de Dekker, il n'y a pas vraiment de rôle privilégié pour un processus, même si l'initialisation de la variable turn donne un léger avantage à P_1 . Et dans l'algorithme de Peterson, il n'y a strictement aucun privilège : l'initialisation de la variable n'influe pas sur le comportement de l'algorithme (pourquoi?).

6 Algorithmes distribués pour n processus

6.1 De $2a$ à n : les tournois

Ici nous allons voir une idée proposée par G.L. Peterson et M.J. Fischer en 1977 pour passer d'un algorithme de section critique pour 2 processus à un algorithme pour n processus (voir [4]). L'idée repose sur une approche "diviser-pour-regner".

Supposons que l'on dispose de 2^k processus P_0, P_1, \dots, P_{n-1} . On va faire un tournoi à $\log(n)$ ($= k$) tours. Après le premier tour, il ne reste que 2 processus (bien sûr chaque compétition entre deux processus est régie par l'algorithme de section critique pour deux processus dont on dispose : ici on va utiliser l'algorithme de Peterson), puis après le second tour il ne reste qu'un processus.

On numérote les tours de 0 à $\log(n) - 1$ selon la figure 12(a).

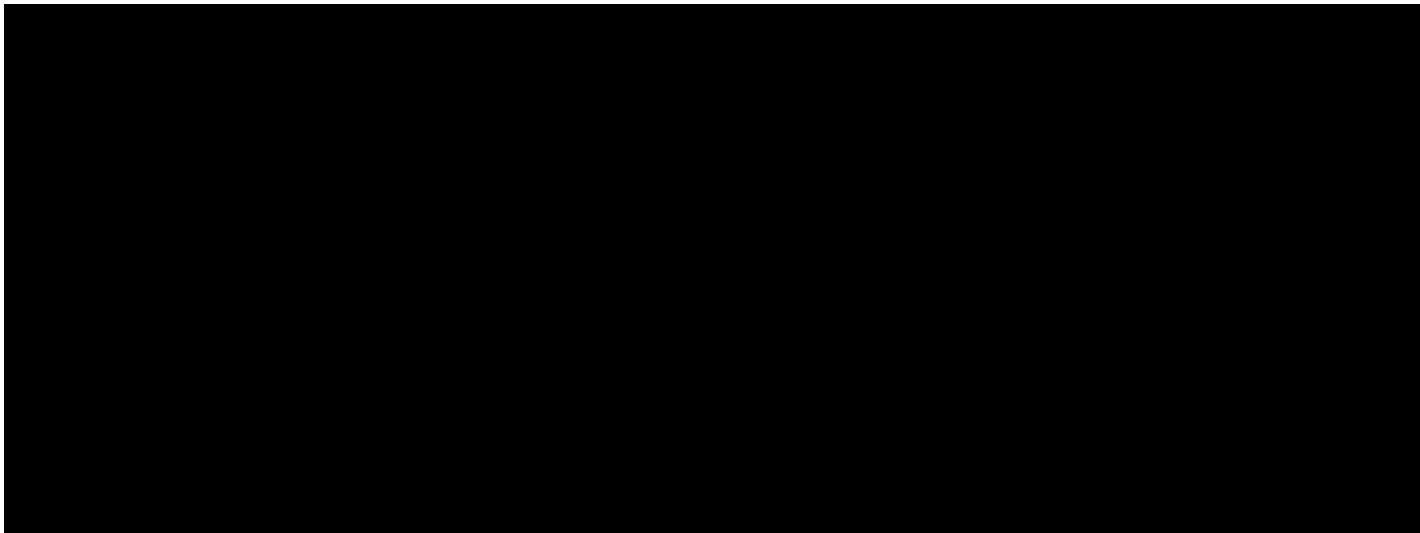


Figure 12 { Organisation du tournoi

Chaque compétition est repérée par un niveau et un numéro $k : 0 \leq k \leq \log(n) - 1$ et $2^k \leq i < 2^{k+1}$. Pour chaque compétition, on va utiliser l'algorithme de Peterson et on doit donc disposer de l'équivalent des variables partagées $D1$ et $D2$ pour cela on utilise :

- { $turn[k]$: qui est prioritaire ?
- { $D[k]$: est-ce que le processus de gauche veut accéder à la SC ?
- { $D[k+1]$: est-ce que le processus de droite veut accéder à la SC ?

De plus, chaque processus doit pouvoir se repérer et savoir à tout moment à quel niveau il se trouve et si il correspond au "processus gauche" ou au "processus droit" du tournoi en cours à n de pouvoir interpréter correctement la valeur de $turn[k]$. Pour chaque processus P_i , on a donc aussi les variables locales suivantes :

- { $level$: le niveau de la compétition en cours ;
- { k : le noeud correspondant à la compétition en cours au niveau
- { id : indiquant si P_i est le processus de gauche (joue le rôle de P_1 dans l'algorithme de Peterson) ou si c'est le processus de droite (joue le rôle de P_2).

```

Algorithme  $P_i$ 
loop forever :
1 Section NC
2  $k := i$ 
3 pour  $' = 0 :: \log(n) - 1$  faire
4    $id := (k \% 2) + 1$ 
5    $k := b_2^k c$ 
6    $D['; 2k + (id - 1)] := \text{true}$ 
7    $\text{turn}['; k] := 3 - id$ 
8    $\text{await} (: D['; 2k + 2 - id] \_ \text{turn}['; k] == id )$ 
9 Section critique
10 pour  $' = \log(n) - 1 :: 0$  faire
11    $D['; b_2^i c] := \text{false}$ 

```

Preuve : Si un processus commence à exécuter son pré-protocole et se retrouve bloqué à un noeud (k) , alors il deviendra prioritaire dès que le processus responsable du blocage à ce noeud aura exécuté son post-protocole. L'équité entre processus lui assurera alors de franchir le noeud (k) . 2

Mais l'attente n'est pas bornée : pendant qu'un processus est bloqué à un noeud, d'autres processus peuvent accéder à leur SC un nombre arbitrairement grand de fois. Sur l'exemple précédent, on peut imaginer que P_0 est bloqué en (0) , et pendant ce temps les processus P_2, P_3, \dots, P_7 peuvent accéder à leur SC un nombre de fois arbitrairement grand (le noeud $(0,1)$ n'est pas utilisé pendant toute cette période). Bien sûr cela suppose des processeurs très lent (arbitrairement lent!).

6.2 Avec des variables propres : l'algorithme de la boulangerie

On s'intéresse à des problèmes faisant intervenir 2 processus.

À présent nous n'utiliserons plus des variables partagées (comme la variable des algorithmes de Dekker ou Peterson, que chaque processus peut lire et modifier. Ici les différents processus ne pourront communiquer que par des variables ou **Multiple-Readers/Single-Writer** : une telle variable peut être lue par tous les processus mais elle ne peut être modifiée que par un seul processus.

Notons que ce mécanisme permet à chaque processus d'obtenir des informations sur l'état d'un autre processus (par la lecture des variables propres) mais cela ne lui permet pas d'intervenir directement sur ces états (impossible de modifier ces variables). On est donc dans une configuration différente des premiers algorithmes présentés où les processus partageaient réellement et complètement des variables.

Nous allons étudier l'algorithme de la Boulangerie (Bakery algorithm) proposé par Lamport en 1974. L'idée de cet algorithme est assez classique et on le retrouve dans les gares, les bureaux de poste, l'administration : Il suffit de choisir un numéro supérieur à celui de toutes les personnes déjà en attente, puis d'attendre suffisamment longtemps pour que ce numéro devienne le plus petit des numéros des personnes en attente...

La figure 13 présente l'algorithme de la Boulangerie. Les tableaux $Choix$ et Nbs sont des variables propres : chaque élément est lisible par tous les processus mais seul le processus peut modifier les éléments de ces tableaux (c.-à-d. $Choix[i]$ et $Nb[i]$ appartiennent à P_i).

Dans cet algorithme on doit calculer Max de tous les numéros utilisés par les processus. Cette opération n'est pas considérée comme une opération atomique, on peut donc avoir plusieurs max qui se calculent en même temps et obtenir le même numéro pour chacun de ces calculs. Comme l'algorithme repose sur l'idée que le numéro minimal est prioritaire, on résout les égalités en considérant les numéros de processus (on suppose que ces numéros sont uniques) dans la relation d'ordre, on définit ainsi la relation sur les paires d'entiers :

$$(n; i) << (n'; i') \text{ , } (n < n' \text{ } _{ (n == n' \wedge i < i') }$$

Notons que si $i = i'$ on a toujours $(n; i) << (n'; i)$ ou $(n'; i) << (n; i)$.

On notera $X^{(i)}$ le fait que le processus P_i se trouve à la X -ème instruction.

L'algorithme de la Boulangerie garantit l'exclusion mutuelle :

```

Algorithme de la Boulangerie
boolean Choosing[1..n] := False      // variables propres
int Nb[1..n] := 0

-- Processus Pi
loop forever :
p1: section NC
p2: Choosing[i] := True
p3: Nb[i] := Max(Nb[1..n])+1
p4: Choosing[i] := False
p5: For j =1..n : if j != i :
p6:  await Choosing[j]==False
p7:  await Nb[j]==0 or (Nb[i],i) << (Nb[j],j)
p8: section critique
p9: Nb[i] := 0

```

Figure 13 { Algorithme de la Boulangerie

Theoreme 8 ~~longue~~ ~~longue~~

$$\forall i \neq j \quad 2^i : (p_8^{(i)} \wedge p_8^{(j)})$$

Preuve : On va montrer que lorsque P_i arrive en section critique, aucun autre processus ne peut déjà s'y trouver.

Supposons que P_i atteigne sa SC au temps t_0 . Soit P_k un autre processus ($k \neq i$). On veut montrer que P_k n'est pas en SC au temps t_0 .

Puisque P_i est en SC au temps t_0 , c'est qu'il a franchi, lors de l'itération $n = k$ de la boucle for, son instruction p6 (soit t_0 cet instant où $\text{Choosing}[k] == \text{False}$) et son instruction p7 (soit t_1 cet instant où l'on a $\text{Nb}[k] == 0$ or $((\text{Nb}[i], i) \ll (\text{Nb}[k], k))$). On a bien sûr $t_0 < t_1 < t_2$.

Où peut être P_k à l'instant t_0 ? Il y a deux cas :

{ en p1 ou en p2: lorsque P_k essaiera d'entrer en SC, son numéro sera forcément supérieur strictement à $\text{Nb}[i]$ car la valeur de $\text{Nb}[i]$ sera prise en compte dans le calcul du max. Et donc P_k ne pourra ni doubler, ni rejoindre P_i dans la SC.

{ en p5, p6, p7, p8 ou p9: Dans ce cas, on distingue deux autres cas selon la valeur du test $(\text{Nb}[k], k) \ll (\text{Nb}[i], i)$ à l'instant t_0 :

{ $(\text{Nb}[k], k) \ll (\text{Nb}[i], i)$: alors $\text{Nb}[k]$ sera obligatoirement remis à zéro avant l'instant t_1 (où P_i franchit p7 en examinant P_k) et on se ramène au cas précédent avec P_k en p1 ou p2, ou au cas suivant avec $(\text{Nb}[i], i) \ll (\text{Nb}[k], k)$...

{ $(\text{Nb}[i], i) \ll (\text{Nb}[k], k)$: alors dans ce cas P_k ne peut pas franchir son instruction p7 lors de son examen de P_i avant que P_i ne remette $\text{Nb}[i]$ à zéro, c'est à dire en sortant de la SC. Donc P_k ne peut accéder à sa SC entre t_0 et t_2 .

Il reste donc à vérifier que P_k n'a pas pu accéder à sa SC avant t_0 (et y être toujours). Si cela était le cas, alors P_k serait arrivé dans la SC après son choix de $\text{Nb}[k]$. Or au moment du choix de $\text{Nb}[k]$, le calcul de $\text{Nb}[i]$ a déjà commencé (ou même termine)

car $Nb[k]$ est supérieur ou égal à $Nb[i]$ et donc lorsque P_k examinera P_i lors de son instruction p_7 , il ne pourra pas la franchir avant P_i et donc il ne peut pas accéder à sa SC avant t_0 .

Il n'y a donc pas de possibilité où P_i rejoigne un autre processus en SC. 2

Il n'y a pas d'interblocage car le processus bloqué avec le plus petit numéro (et, en cas d'égalité, ayant le plus petit indice) passera en SC. L'absence de famine utilise le même argument :

Théorème 9 ~~La Boulangerie~~
~~est un algorithme~~
~~de mutualisation~~

$$2^i (p_2^{(i)}) \leq 3 p_8^{(i)}.$$

Preuve : Considérons le cas du processus P_i . Lorsque P_i commence à exécuter son pré-protocole, il exécute p_2 , puis p_3 (ce calcul termine...), puis p_4 et commence les itérations de p_6 et p_7 . Il ne peut bloquer qu'en p_7 (car tous les calculs de p_4 terminent). Supposons que P_i bloque en p_7 à l'itération j , donc sur l'instruction :

`await(Nb[j]==0 or (Nb[i],i) << (Nb[j],j))`

Comme il n'y a pas d'interblocage, les processus ayant des numéros plus prioritaires que P_i finiront par accéder puis quitter leur SC, P_i accèdera un jour à sa SC (avant P_i), puis :

{ soit P_j restera en section non-critique et $Nb[j]==0$, ce qui libérera P_i de son blocage... }

{ soit P_j réexécutera son pré-protocole mais alors le numéro $Nb[j]$ qu'il choisira sera strictement supérieur à $Nb[i]$ et donc P_i sera débloqué... }

2

L'algorithme de la Boulangerie assure aussi une attente bornée : le nombre de processus qui peuvent passer devant P_i après que P_i ait demandé à accéder à sa SC et calculé $Nb[i]$ est borné par $\frac{1}{\epsilon}$: après un éventuel accès à la SC, tout processus P_j verra attribuer (si il demande à y retourner) un numéro supérieur à celui de P_i .

Un inconvénient de l'algorithme de la Boulangerie est souligné dans l'exercice ci-dessous : les numéros renvoyés par Max peuvent croître indéfiniment. Il existe des améliorations de l'algorithme de la Boulangerie qui évitent ce problème.

Exercice 1 ~~La Boulangerie~~
~~est un algorithme~~
~~de mutualisation~~

7 Algorithmes distribués utilisant des messages

Maintenant nous allons considérer le cas des algorithmes distribués communiquant par envois/receptions de messages. Nous considérons des communications **asynchrones** : un envoi de message est suivi (plus tard) par une réception.

Les différents processus sont distribués sur différentes machines (on parle de sites), chacun a sa mémoire locale qu'il ne partage pas avec les autres. Chaque processus peut envoyer des messages à n'importe quel autre processus : un message est **type** (sa structure est fixe). L'envoi de messages de la part d'un processus permet de signaler aux autres processus des changements dans l'état de

Sur chaque site, on va distinguer deux parties du processus : une sera chargée de représenter l'activité du processus (pour accéder à la SC) et l'autre sera chargée de la réception des messages des autres processus. Ces deux parties évoluent en parallèle (en partageant la mémoire du site).

Nous allons faire les hypothèses suivantes :

- { un site ne peut pas s'arrêter complètement : il doit toujours être capable d'envoyer et recevoir des messages ;
- { chaque site peut envoyer (et recevoir) des messages à (de) n'importe quel autre site ;
- { les canaux sont fiables : aucun message n'est perdu ;
- { le temps de communication (le délai séparant l'envoi de la réception d'un message) est arbitraire (mais fini!).

7.1 Algorithme de Lamport (1978)

Hypothèses. Dans cet algorithme (voir par exemple [2]), on ne connaît pas le temps nécessaire à la transmission d'un message (entre son envoi et sa réception), mais on suppose toujours qu'entre deux processus donnés, deux messages ne peuvent pas se doubler. Si P_i envoie un message M_1 à P_j , puis un autre message M_2 , alors on sait que P_j recevra d'abord M_1 puis M_2 .

Idée de l'algorithme. Chaque processus P_i dispose d'une horloge locale (ce mécanisme est expliqué ci-dessous) que l'on va utiliser pour dater les messages. Un processus qui veut accéder à sa section critique va signaler son intention à tous les autres processus en envoyant un message **request** accompagné de la valeur de son horloge locale. Chaque processus souhaitant accéder à la SC dispose donc de toutes les demandes en cours des autres processus et sait si sa propre demande est la plus ancienne ou non : pour accéder à la SC, il suffit d'attendre que sa demande soit la plus ancienne de toutes les demandes en cours. Et bien-sûr tout processus quittant la SC doit le signaler avec un message **release** adressé à tous les processus. Comme dans cet algorithme, on ne connaît pas le temps nécessaire à la transmission d'un message, il faut vérifier, avant d'accéder à la SC, qu'aucun message ancien n'est en cours de transmission, pour cela on impose au processus accédant à la SC d'avoir reçu un message récent de la part de tous les autres processus. Afin de garantir l'émission de messages récents (autres que les demandes d'accès ou les libérations de SC), on demande à chaque processus d'envoyer un **accuse de réception** chaque fois qu'il reçoit une demande **request** d'un autre processus.

Evolution des horloges locales. Un problème courant dans les algorithmes distribués est d'ordonner les différents événements (envoi ou réception de messages) : chaque processus a une vision locale qu'il se construit à partir de son comportement et des messages reçus. Chaque processus de l'algorithme va disposer d'une horloge locale qui est incrémentée de 1 à chaque envoi de messages. Mais ce mécanisme peut engendrer un décalage très grand entre les valeurs des horloges des différents processus. Pour limiter ce décalage, on impose à chaque processus P_i qui reçoit un message de P_j date par la valeur t (t est la date locale de P_j au moment de l'envoi du message) de comparer la valeur de son horloge : si $c_i < t$ alors P_i met à jour son horloge avec la valeur t . De plus, P_i incrémentera son horloge après chaque envoi (ou diffusion groupée) et réception de messages.

Description de l'algorithme. Tout d'abord, on précise les objets manipulés par les processus. Les horloges sont des entiers positifs. Les messages seront des triplets (type, num. de proc.) ou le type peut être request, release ou ack. Chaque processus dispose d'un tableau $F[1..n]$ pour stocker les derniers messages importants (voir ci-dessous) arrivés pour chaque processus. Dans $S[i]$, le processus P_i stockera son dernier message de type request ou release.

Lorsque P_i reçoit un message $(request; t; j)$ ou $(release; t; j)$, il le stocke en $F[j]$. Lorsqu'il reçoit un message $(ack; t; j)$, il le stocke en $F[j]$ seulement si $F[j]$ ne contient pas de message de type request.

Notons que les dates des messages contenus dans $F[j]$ sont croissantes (pour tout un message avec une date t est remplacé par un message avec une date t' telle que $t' < t$).

La description de l'algorithme se trouve dans les figures 14 et 15. On distingue la partie gestion des réceptions de messages (figure 15) du reste de l'algorithme (figure 14).

On note $Send(request, c, i) \rightarrow j$ l'envoi du message $(request, c, i)$ au processus P_j . La fonction $type(m, t, k)$ retourne le type du message et la fonction $date(m, t, k)$ retourne la date associée à un message.

Algorithme de Lamport (1978)

```
-- Processus  $P_i$ 
Message  $F[1..n] := \text{nil}$ 
int  $c := 0$ 
loop forever :
p1: section NC
p2: { for all  $j \neq i$  :  $Send(request, c, i) \rightarrow j$ 
p3:    $F[j] := (request, c, i)$ 
p4:    $c := c + 1$  }
p5: await [  $(date(F[i]) < date(F[j]))$  for all  $j \neq i$  ]
p6: section critique
p7: { for all  $j \neq i$  :  $Send(release, c, i) \rightarrow j$ 
p8:    $F[j] := (release, c, i)$ 
p6:    $c := c + 1$  }
```

Figure 14 { Algorithme de Lamport 1978

Algorithme de Lamport (1978) -- gestion des RECEPTIONS du processus P_i

```

case (request,t,j) :
{ if (t > c) : c:=t
  c := c+1
  F[j] := (request,t,j)
  Send(ack,c,i) -> j }

case (release,t,j) :
{ if (t > c) : c:=t
  c := c+1
  F[j] := (rel,t,j) }

case (ack,t,j) :
{ if (t > c) : c:=t
  c := c+1
  if (type(F[j]) != request) : F[j] := (ack,t,j) }

```

Figure 15 { Algorithme de Lamport 1978 { gestion des receptions

Remarque : Dans le code des figures 14 et 15, on utilise des `g` pour designer des instructions que l'on fait de maniere atomique localement : le code de la partie principale et celui de la gestion des receptions d'un même processus ne peuvent pas alors s'entremêler (pour garantir cette exclusion mutuelle on peut utiliser les algorithmes vus précédemment base sur le partage de la memoire comme Peterson). On verra pourquoi cette hypothese est necessaire.

L'algorithme de Lamport-1978 assure l'exclusion mutuelle :

Theoreme 10 ~~La propriété~~

~~de l'exclusion mutuelle~~

$$\forall i \neq j : (p_i^{(i)} \wedge p_j^{(j)}) \Rightarrow \text{faux}$$

Preuve : Supposons que les processus P_i et P_j soient au même moment ~~et~~ Supposons qu'à cet instant, on ait $\text{date}(F^i[i]) < \text{date}(F^j[j])$ ou F^k designe le tableau du processus k . Alors c'est le processus P_j qui n'a pas respecte le protocole. En effet, P_j a envoyé une requête au temps t et P_i a lui envoyé une requête au temps $t^0 < t$ ou $(t = t^0 \wedge i < j)$ ($\text{date}(t^0, i) < (t, j)$). Si P_j accède à sa SC, c'est qu'il a stocké un message recent de tous les processus, et donc en particulier P_i . Dans son $F[j]$, ce message est de la forme :
 { (request, t^0, i) ou (release, t^0, i) avec $(t, j) < (t^0, i)$: alors on a $t^0 < t$, le processus P_i a donc envoyé le message (request, t^0, i) ou (release, t^0, i) **après** le message (request, t, i) : d'après le code du processus P_j , il n'est pas possible que (request, t^0, i) soit encore stocké dans $F[j]$...
 { (ack, t'', i) avec $(t, j) < (t^0, i)$: alors on sait que le message (request, t^0, i) a été reçu par P_j avant (ack, t'', i) (car par hypothese les messages ne se doublent pas). Or

si ce dernier message a été stocké dans $date(F^j[i])$ c'est qu'il n'y avait pas de message de type request (voir la gestion des receptions) dans F^j mais un message release signifiant que P_i avait quitté sa SC.

2

Exercice 2

```

{
  Map
  {
    B
  }
  {
    B
  }
}

```

Pour quelles propriétés, on utilise le mécanisme de synchronisation des horloges (mise à jour avec les valeurs d'horloges reçues dans les messages) ?

7.2 Algorithme de Ricart-Agrawala (1981)

L'idée de cet algorithme est assez proche de l'algorithme précédent mais on va essayer de réduire le nombre de messages nécessaires à l'accès de la section critique : lorsqu'un processus P_i communique à P_j son souhait d'accéder à la SC, P_j ne lui retourne un accusé de réception ok que si P_j ne souhaite pas y accéder ou si P_j n'est pas prioritaire (voir ci dessous). Dans le cas où P_j ne répond pas tout de suite, il le fera après avoir accédé à la SC (il utilise un tableau `Waiting` pour stocker la liste des processus à qui il doit envoyer ok plus tard).

La priorité d'un processus est établie par un numéro que chaque processus choisit lorsqu'il souhaite accéder à sa SC. Plus ce numéro est petit, plus sa demande d'accès à la SC est prioritaire. Ce numéro est choisi supérieur à tous les autres numéros que le processus a vu pour le moment (on utilise pour cela une variable `max`).

Un processus n'accède alors à sa SC que lorsqu'il a reçu un accord explicite de tous les autres processus ($n - 1$ messages).

Cet algorithme utilise deux types de messages (comme précédemment) ok qui sert à donner son accord à un processus pour qu'il accède à la SC. Notons en outre qu'ici nous ne faisons pas l'hypothèse que les messages arrivent dans l'ordre. On envoie un premier message à P_j , puis un second, alors l'ordre d'arrivée n'est pas fixe.

Remarque : Dans le code des figures 16 et 17, on utilise des `g` pour désigner des instructions que l'on fait de manière atomique : le code de la partie principale et celui de la gestion des receptions ne peuvent pas alors s'entremêler (pour garantir cette exclusion mutuelle on peut utiliser les algorithmes vus précédemment basés sur le partage de la mémoire comme Peterson). On verra pourquoi cette hypothèse est nécessaire.

Théorème 11

et p

$$2 : (p^{(i)} \wedge p^{(j)}) \wedge$$

$i \neq j$

Preuve : Supposons que P_i et P_j se trouvent ensemble dans leur section critique. Il se sont donc chacun envoyés un message et ils ont aussi chacun choisi une priorité pr_i pour P_i et pr_j pour P_j .

Pour P_i on distingue les dates suivantes :

$\{ t_i^0 \text{ où } P_i \text{ choisit son numéro } pr_i ;$

Algorithme de Ricart-Agrawala

```
-- Processus Pi
boolean Waiting[1..n] := False
boolean reqCS := False
int pr := 0
int maxpr := 0      // plus grand numero reçu
int nba:=0          // compte le nb de reponses attendues

loop forever :
p1: section NC
p2: { reqCS := True
P3:   nba := N-1
p4:   pr := maxpr +1 }
P5: for all j != i : Send(request,pr,i) -> j
p6: await [ nba == 0 ]
p7: section critique
p8: { reqCS := False
p9:   for all j: if (Waiting[j] == True) :
p10:      Waiting[j] := False
p11:      Send(ok,i) -> j }
```

Figure 16 { Algorithme de Ricart-Agrawala

```
case (request,k,j) :
{ if (k > maxpr) : maxpr := k
  if (!reqCS or (k,j)<<(pr,i)) : Send(ok,i) -> j
  else : Waiting[j] := True }

case (ok,j) :
  nba := nba - 1
```

Figure 17 { Algorithme de Ricart-Agrawala { gestion des receptions

{ t_i^1 ou P_i envoie le message (request,i,pr) à P_j ;
 { t_j^0 ou P_j recoit (request,i,pr) et retourne (ok,j) à P_i (NB : en raison des hypothèses d'atomicité, on sait que cet instant existe : la réception du message est suivie immédiatement { sans l'exécution d'instructions de la procédure principale de P_j par l'envoi de ok à P_i);
 { t_i^2 ou P_i recoit le message (ok,j) de P_j .
 On définit de même t_j^0, t_j^1, t_j^0 et t_j^2 pour le processus P_j . On a clairement $t_i^0 < t_i^1 < t_j^0 < t_i^2$, et $t_j^0 < t_j^1 < t_i^0 < t_j^2$.
 Supposons $t_i^0 < t_j^0$. Alors on distingue deux cas :

A Abstraction et diagramme d'états

La taille du diagramme d'états est un problème majeur de l'analyse des algorithmes concurrents. Il peut être exponentiel dans le nombre de processus évoluant en parallèle et dans le nombre de variables... Il est donc important d'obtenir le plus possible ce graphe, en ne conservant que les parties pertinentes vis-à-vis de la propriété à vérifier. Ce travail n'est pas toujours facile à faire. Nous allons l'illustrer de deux manières sur l'exemple de l'algorithme A1 de la section 5.1.

Tout d'abord, nous pouvons simplifier l'algorithme en considérant celui de la figure 18.

```

int turn := 1      // variable partagée

-- Processus P1
loop forever :
p1': await turn==1
p2': turn:=2

-- Processus P2
loop forever :
q1': await turn==2
q2': turn:=1
  
```

Figure 18 { Algorithme A1' }

En effet, pour la propriété d'exclusion mutuelle, on ne s'intéresse pas à ce qui se passe dans les sections critiques et les sections non-critiques. Par exemple, si ces deux parties du code étaient vides, alors le protocole devrait toujours fonctionner (on sait que ces parties ne peuvent modifier la variable `turn`). On peut donc se limiter aux deux phases du protocole. Le diagramme d'états de A1' est alors décrit à la figure 19.

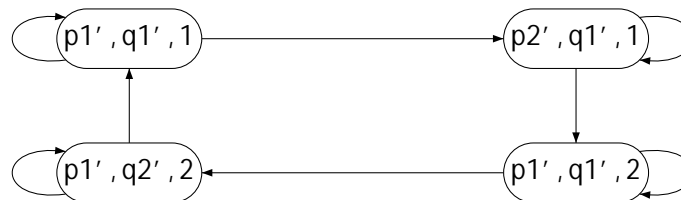


Figure 19 { Diagramme d'états de A1' }

Comment vérifier la propriété d'exclusion mutuelle ? En vérifiant que les états $(p2'; q2'; 1)$ et $(p2'; q2'; 2)$ ne sont pas accessibles depuis l'état de départ... Et c'est bien le cas !

Mais on ne peut pas utiliser ce graphe pour vérifier la propriété d'absence de famine pour A1. En effet, dans A1', on ne représente plus le fait que les SNC peuvent ne pas terminer... Or c'est précisément cela qui rend possible la famine des processus avec A1. Et ce n'est plus le cas dans A1' : cet algorithme vérifie bien l'absence de famine (on le constate dans le graphe de la figure 19 où le long de toutes les exécutions équitables, les deux processus accèdent inégalement souvent à la SC). Il faut donc être très prudent lorsqu'on simplifie (abstrait) un algorithme : il faut s'assurer que cette abstraction est compatible avec les propriétés étudiées.

Un autre graphe abstrait. En effet, nous pouvons aussi obtenir un graphe simplifié représentant le comportement de l'algorithme A1 de la manière suivante. Il suffit de partir d'un autre point de vue : puisque l'objectif est d'analyser les accès à la section critique, nous

pouvons représenter un état par un triplet (s_1, s_2, t) où s_1 est un booléen valant vrai si P_1 est dans sa SC, et s_2 vaut vrai si P_2 est dans sa SC, et t représente la valeur de la variable `turn`. A partir de ces triplets, on peut décrire le comportement du programme A1 avec le graphe étiqueté de la figure 20.

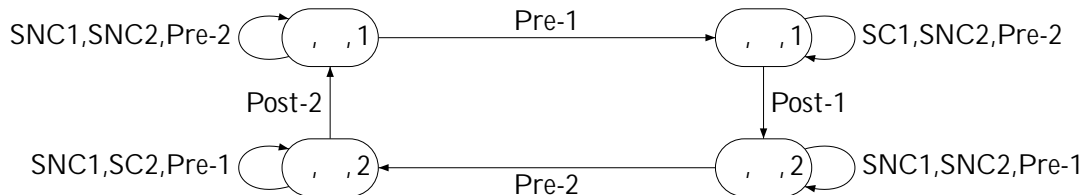


Figure 20 { Graphe simplifié de A1.

L'idée des transitions étiquetées est d'indiquer quelles instructions du programme sont exécutées lors de la transition. L'étiquette `Pre-1` signifie que le processus P_1 exécute son Pre-protocole, c'est-à-dire l'instruction `await turn==1` (qui a pour effet de boucler si le test est négatif, ou de passer en section critique sinon).

Ce graphe peut servir pour prouver l'exclusion mutuelle ainsi que la présence de famine (en considérant le cycle `SNC1 Pre-2` sur le premier état : si le processus P_1 ne sort jamais de sa section non-critique, il ne permettra jamais à P_2 d'accéder à sa SC...).

Notons que ce graphe simplifié n'est pas à proprement parler un diagramme d'états comme nous les avons définis au premier cours. Il s'agit d'un autre type de construction qui décrit aussi le comportement du programme et qui peut servir pour analyser certaines propriétés. Cela montre qu'il existe plusieurs méthodes alternatives possibles mais à chaque fois il faut être sûr que la construction est pertinente pour la propriété étudiée : un graphe trop simplifié ne marchera pas... Ce travail de construction d'un modèle (diagramme d'états abstrait) est un problème délicat !

Exercice 4 { Algorithmique

```

boolean D1 := False // variables partagées
boolean D2 := False

-- Processus P1
loop forever :
p1: section NC
p2: D1 := True
p3: await (D2==False)
p4: section critique
p5: D1:=False

-- Processus P2
loop forever :
q1: section NC
q2: D2 := True
q3: await (D1==False)
q4: section critique
q5: D2:=False

```

Figure 21 { Algorithme A2

B Logique temporelle { mini kit de survie

Ici nous utilisons la logique temporelle LTL pour enoncer des proprietes sur le comportement des processus concurrents.

LTL est une logique temporelle de temps lineaires. Les formules de LTL s'interpretent sur des executions : Une execution est une sequence infinie d'etats $q_0! q_1! q_2! \dots$ et chaque etat q_i est etiquete par un ensemble de propositions $P(q_i)$ ('(q)' est appelee la fonction d'etiquetage) qui correspondent a l'ensemble des proprietes elementaires que cet etat verifie.

On note (i) le $(i + 1)$ -eme etat de (dans l'exemple ci-dessus on a $(i) = q_i$) et on note i le $(i + 1)$ -eme suffixe de , c'est-a-dire $q_i! q_{i+1}! \dots$

Dans notre cas, on va interpreter les formules LTL sur des executions du diagramme d'etats (ou d'un graphe equivalent) associe a un algorithme. On a donc une sequence d'etats $q_0! q_1! q_2! \dots$ ou chaque transition correspond a un pas de l'algorithme et chaque etat est une structure de la forme $(q; v_1; v_2; \dots)$: on sait pour chaque processus quelle est la prochaine instruction qui sera executee, et on connait la valeur de certaines variables. Ces caracteristiques de chaque etat sont vues comme des propositions atomiques de la logique temporelle : c'est a dire des propositions qui s'interpretent sur un etat (et non sur l'ensemble de l'execution) : ainsi la proposition p_2 sera vraie dans un etat de la forme $p_2(\dots)$.

Un exemple d'execution du diagramme d'etats de l'algorithme A1 est :

$(p_1; q_1; 1)! (p_1; q_1; 1)! (p_1; q_2; 1)! (p_2; q_2; 1)! (p_3; q_2; 1)! (p_3; q_2; 1)! (p_4; q_2; 1) \dots$

Dans cet exemple, l'ensemble des propositions atomiques est $\{p_1, p_2, p_3, p_4, q_1, q_2, q_3, q_4, \text{turn} == 1; \text{turn} == 2\}$. La proposition p_3 sera vraie dans tout etat de la forme $p_3(q; \dots)$, la proposition $\text{turn} == 2$ sera vraie dans tout etat de la forme $p_4(q; 2), \dots$.

La syntaxe de la logique LTL est de nie comme suit :

Definition 2 (syntaxe de LTL)

$$f ::= P \mid f \wedge f \mid \neg f \mid f \cup f \mid f \text{ until } g$$

ou P est une

Les operateurs booléens s'interpretent comme d'habitude. Une execution est dite d'une fonction d'etiquetage τ si l'etat (i) contient P dans son etiquetage $\tau(i)$. L'opérateur U (pour until) est utilise de la maniere suivante :

U est vraie pour une execution si il existe un suffixe de verifiant et tous les suffixes precedents verifient (on a bien jusqu'a avoir !). L'opérateur , permet de parler du suffixe obtenu apres une transition.

On va maintenant definir formellement cette semantique. Etant donnee une execution $\tau : q_0! q_1! q_2! \dots$, on note $\tau \models f$ pour signifier que la formule est vraie pour τ . On definit cette relation comme suit :

$$\begin{aligned} \tau \models P & \text{ ssi } P \in \tau(0); \\ \tau \models f \wedge g & \text{ ssi } \tau \models f \text{ et } \tau \models g; \\ \tau \models \neg f & \text{ ssi il n'est pas vrai que l'on a } \tau \models f; \\ \tau \models f \cup g & \text{ ssi } \exists i \geq 0 \text{ tq } \tau^i \models g \text{ et } \forall j < i \text{ on a } \tau^j \models f \end{aligned}$$

{ $j = i$, ssi $i = j$ }.

On définit quelques macros :

{ $_$ par : (: ^ :) ;

{ $_$) par ($_$) $_$;

{ $_$ > par $P _$: P pour n'importe quelle proposition atomique P > est toujours vrai (pour n'importe quel état de n'importe quelle exécution) ;

{ $_$ 3 par > U : un jour (dans le futur), sera vraie (en suivant la définition du Until, on exige qu'il existe un $_$ se vérifiant et que tous les $_$ se précédents vérifient { ce dernier point étant toujours vrai).

{ $_$ 2 par : 3 : : est toujours (dans le futur) vraie

Si l'on reprend l'exemple d'exécution donnée ci-dessus (pour l'algorithme A1), alors la propriété $_3(p3 \wedge q2)$ est vérifiée. Il en est de même pour la formule $_1(_ == 1) _3$

Que signifie qu'un programme vérifie une formule $_L$? Cela signifie que toutes les exécutions de ce programme vérifient la formule.

Dans le cours, nous utiliserons essentiellement les opérateurs $_2$ (et les opérateurs booléens). Cela permet d'énoncer des propriétés classiques comme :

{ des propriétés de sûreté qui expriment l'idée qu'une mauvaise chose n'arrive jamais.

Par exemple $_2 : (p8 \wedge q8)$: il est toujours vrai que P_1 et P_2 ne peuvent pas être dans leur 8-ème instruction au même instant... C'est équivalent à écrire $_2(p8 \wedge q8)$ ou encore $_2 : p8 _ : q8$.

{ des propriétés de vivacité qui expriment l'idée qu'une bonne chose doit arriver (dans certaines circonstances).

Par exemple $_2(p2) _3 p8$: il est toujours vrai que P_1 est en $p2$, alors plus tard il accèdera à sa 8-ème instruction (par ex. sa section critique)...

{ des propriétés d'équité qui expriment une forme d'équité sur l'exécution.

Par exemple, on pourrait dire que si un processus demande inégalement souvent d'accéder à sa section critique, alors il y parviendra inégalement souvent... Notez que c'est moins fort que la propriété précédente car avec cette nouvelle propriété, on peut imaginer un processus qui demande 100 fois d'accéder à sa SC et qui y renonce après quelque temps et finit par ne plus la demander. Ce type d'exécutions où la SC n'est jamais obtenue vérifie la propriété d'équité mais pas celle de vivacité ci-dessus.

Si la demande d'accès à sa SC se fait à l'instruction $p15$ et que sa SC se trouve en $p23$, on peut écrire la propriété d'équité décrite ci-dessus par $_3(p15) _2 _3 p23$

Ce ne sont que quelques exemples, la logique temporelle permet d'énoncer des propriétés très fines sur les exécutions d'un programme. Mais nous ne l'utiliserons que de manière très simple dans tout le cours...

References

- [1] Moti Ben-Ari. *From theory to implementation*. Addison-Wesley, second edition, 2006.
- [2] Michel Raynal. *From theory to implementation*. Dunod, 1984.
- [3] Ekaterina Sedletsy, Amir Pnueli, and Mordechai Ben-Ari. Formal verification of the ricart-agrawala algorithm. *Formal methods in system verification*, volume 1974 of *LNCS*, pages 325{335. Springer, 2000.
- [4] Gadi Taubenfeld. *From theory to implementation*. Prentice Hall, 2006.